

## АСИММЕТРИЯ ПОЛЯРИЗАЦИИ АБЕРРАЦИОННОЙ КАРТИНЫ ПРИ ОРИЕНТАЦИОННОЙ САМОФОКУСИРОВКЕ

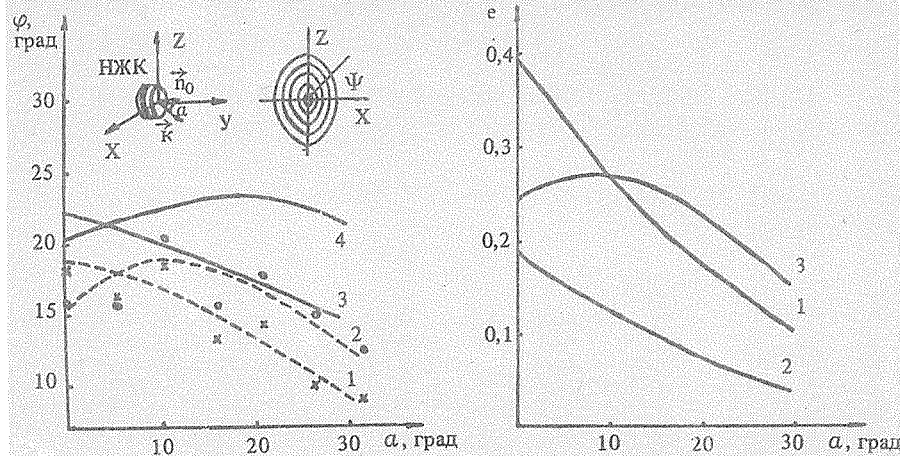
А.С. Золотко, В.Ф. Китаева, Н.И. Криндач, Н.Н. Соболев

УДК 532.783

Экспериментально обнаружена несимметричность поляризации правой и левой частей aberrационной картины, сопровождающей ориентационную самофокусировку в НЖК. Параметры поляризации численно рассчитаны в рамках простейшей модели и находятся в качественном согласии с результатами экспериментов.

Поляризация излучения светового пучка, испытавшего самофокусировку в нематическом жидкокристалле (НЖК), отличается от поляризации излучения, падающего на НЖК [1-3]. Поляризационные эффекты зависят от угла падения пучка на кристалл  $\alpha$ , полярного угла  $\Psi$ , отсчитываемого в плоскости поперечного сечения пучка от линии пересечения ее с плоскостью поляризации падающего излучения, и угла нелинейного отклонения луча  $\Theta$ . В работах [1-3] была изучена поляризация только на горизонтальном ( $\Psi = 0, 180^\circ$ ) и вертикальном ( $\Psi = 90^\circ, 270^\circ$ ) диаметрах aberrационной картины для случаев  $\alpha = 0$  и  $\alpha > 20^\circ$ . В настоящей работе диапазон исследованных значений  $\alpha$  и  $\Psi$  расширен. Исследована поляризация aberrационной картины при  $\Psi = 45^\circ, 90^\circ, 135^\circ$  в диапазоне углов  $0^\circ < |\alpha| < 30^\circ$ .

Исследования проводились с гомеотропно ориентированным кристаллом ОЦБФ толщиной  $L = 150$  мкм. Кристалл помещался в перетяжку светового пучка, поляризованного в горизонтальной плоскости, и мог вращаться вокруг вертикальной оси. При этом изменялся угол  $\alpha$  между волновым вектором  $\vec{k}$  падающего на кристалл излучения и невозмущенным директором  $\vec{n}_0$  (рис. 1). Значения  $\alpha$  будем считать положительными, если поворот кристалла происходит против часовой стрелки. Для разных значений  $\alpha$  мощность лазера выбиралась такой, чтобы число aberrационных колец было примерно постоянным ( $N \sim 25$ ). Это соответствует расходимости пучка вне кристалла  $\Theta \sim 17^\circ$ . Состояние поляризации лучей, образующих внешнее aberrационное кольцо, анализировалось визуально с помощью пленочного поляризатора.



Р и с. 1. Зависимости угла поворота большой оси эллипса поляризации от угла  $a$  падения светового пучка на кристалл: 1, 2 – эксперимент (1 –  $\Psi = 45^\circ$ (e), 2 –  $\Psi = 135^\circ$ (x)); 3, 4 – расчет для  $\Psi = 45^\circ$ (3),  $135^\circ$ (4).

Р и с. 2. Теоретические зависимости степени эллиптичности  $e$  от угла  $a$  падения светового пучка на кристалл для значений  $\Psi = 0^\circ$ (1),  $45^\circ$ (2),  $135^\circ$ (3).

Полученные результаты сводятся к следующему: 1) Поляризация лучей, прошедших кристалл, эллиптическая. Параметры эллипса поляризации (угол  $\varphi$ , определяющий положение большой оси эллипса относительно вектора поляризации падающего излучения, и степень эллиптичности  $e$ ) зависят от углов  $a$  и  $\Psi$ . 2) Угол  $\varphi$  уменьшается с увеличением угла  $a$  (рис. 1, кривые 1, 2). 3) При положительных значениях угла  $a$  степень эллиптичности при  $\Psi = 45^\circ$  в 1,5–2 раза больше, чем при  $\Psi = 135^\circ$ . 4) При изменении знака  $a$  несимметричность меняет свой знак, т.е. степень эллиптичности больше в левой части аберрационной картины, чем в правой. Точность эксперимента не позволила установить вид зависимости  $e$  от  $a$ .

Характер зависимости  $e$  от  $a$  был установлен теоретически. На рис. 1 (кривые 3 и 4) и рис. 2 приведены результаты расчета поляризации аберрационной картины.

Расчет выполнен при следующих предположениях: 1) Плоскость, в которой переориентируется директор, совпадает с плоскостью XY поляризации падающего излучения. 2) Угол  $\psi$  поворота директора от первоначального направления (параллельного оси Y) зависит от координаты  $u$  по синусоидальному

ному закону:  $\psi(y) = \psi_0 \sin(\pi y/L)$ . 3) При  $y \gg L/2$  траектории лучей представляют собой прямые линии. 4) Поляризация лучей при  $y = L/2$  соответствует поляризации необыкновенной волны.

В системе координат XYZ координаты единичного вектора  $\vec{l}$  луча, вышедшего из кристалла, определяются выражениями:

$$\begin{aligned} l_x &= \sin \Theta \cos \Psi \cos a_0 + \cos \Theta \sin a_0, \\ l_y &= -\sin \Theta \cos \Psi \sin a_0 + \cos \Theta \cos a_0, \\ l_z &= \sin \Theta \sin \Psi, \end{aligned} \quad (1)$$

а координаты невозмущенного директора  $\vec{n}_0$   $x, z = 0, y = 1$ .

Вектор  $\vec{l}_0$  луча, выходящего из кристалла, выражается через  $\vec{l}$  в соответствии с законом преломления соотношением

$$\vec{l}_0 = \left[ 1 - \frac{1 - (\vec{n}_0 \vec{l})^2}{n_{\text{пр}}^2} \right]^{1/2} \vec{n}_0 - \frac{\vec{l} - \vec{n}_0 (\vec{l} \vec{n}_0)}{n_{\text{пр}}} \quad (2)$$

Здесь  $n_{\text{пр}}$  — показатель преломления НЖК. Изменение поляризации распространяющегося в кристалле излучения описывается уравнениями Максвелла:

$$\text{rot rot } \vec{E} = (\omega^2/c^2) D, \quad \text{div } \vec{D} = 0, \quad (3)$$

где  $D_i = \epsilon_{ij} E_j$ ;  $\epsilon_{ij} = \epsilon_{\perp} \delta_{ij} + \Delta \epsilon n_i n_j$ ,  $\Delta \epsilon$  — оптическая анизотропия;  $n_j$  и  $E_j$  — проекции директора  $\vec{n}$  и электрического поля  $\vec{E}$  на ось  $j$  декартовой системы координат.

Систему уравнений (3) удобно решить в системе координат, в которой ось  $Y'$  параллельна лучу  $\vec{l}_0$ , ось  $X'$  перпендикулярна оси  $Y'$  и лежит в горизонтальной плоскости, а ось  $Z$  перпендикулярна плоскости  $XY$ . Выражая электрическое поле световой волны  $\vec{E}(r')$  через медленно меняющуюся амплитуду

$$\vec{E} = \vec{A}(y') \exp [i(\omega/c)\sqrt{\epsilon_{\perp}} (\vec{l}_0 \vec{r}') - i\omega t], \quad (4)$$

с помощью (1) получим:

$$\frac{dA_e}{dy'} = \frac{d\beta}{dy'} A_e + i \frac{\omega}{2c} \frac{\Delta \epsilon \epsilon_1^{1/2}}{\epsilon_y' y'} (1 - (\vec{n}_0 \vec{l})^2),$$

$$dA_0/dy' = - (d\beta/dy') A_0.$$
(5)

Здесь  $\beta = \arccos(\vec{e}_p \cdot \vec{i}')$ ;  $\vec{e}_p = [\vec{n} - \vec{l}_0 (\vec{n} \cdot \vec{l}_0)] / \sqrt{1 - (\vec{n} \cdot \vec{l}_0)^2}$ ;  $\vec{i}'$  — орт оси  $X'$ ;  $A_e$  и  $A_0$  — медленно меняющиеся амплитуды необыкновенной и обычной волн:

$$A_e = A_x \cos \beta + A_y \sin \beta, \quad A_0 = -A_x \sin \beta + A_y \cos \beta.$$

Учитывая, что вектор  $\vec{A}_e$  образует угол  $\beta$  с осью  $X'$ , и используя (4), получаем выражение для угла  $\varphi$  поворота большой полуоси эллипса поляризации относительно оси  $X$ :

$$\varphi = \beta + \operatorname{arctg} [(A_0 A_e^* + A_e^* A_0) / (|A_e|^2 - |A_0|^2)].$$

Степень эллиптичности  $e = \sqrt{(1 - \delta) / (1 + \delta)}$  определяется величиной

$$\delta = [1 + \left( \frac{A_e A_0^* + A_e^* A_0}{|A_e|^2 - |A_0|^2} \right)^2]^{1/2} \frac{|A_e|^2 - |A_0|^2}{|A_e|^2 + |A_0|^2}.$$

С помощью подстановок  $\Phi = 2\varphi$  и  $\Omega = \arccos \delta$  система (5) приводится к системе двух обычных дифференциальных уравнений, для численного решения которой использовался метод Рунге — Кутта. Из рис. 1 видно, что зависимости  $\varphi$  от  $a$  для углов  $\Psi = 45^\circ$  и  $\Psi = 135^\circ$  в согласии с экспериментом различны. Причиной этого является несимметрия взаимного расположения директора  $\vec{n}$  и векторов  $\vec{l}_0$  лучей, образующих правую и левую части аберрационной картины.

На рис. 2 показана зависимость степени эллиптичности аберрационной картины от угла  $a$ . Видно, что для  $\Psi = 135^\circ$  она больше чем для  $\Psi = 45^\circ$ . Именно это и наблюдалось экспериментально.

Поступила в редакцию 10 июня 1985 г.

#### ЛИТЕРАТУРА

- Китаева В.Ф., Золотько А.С., Соболев Н.Н. УФН, 138, 324 (1982).
- Золотько А.С. и др. ЖЭТФ, 83, 1368 (1982).
- Золотько А.С., Китаева В.Ф., Соболев Н.Н. Препринт ФИАН № 100, М., 1984.